探討各類型爆壓下防爆門之設計

作者/王成堃中校

提要

- 一、國軍重要掩體防護設施大部份均有設置防爆門,且一般設置於掩體出入口 位置,戰時面對敵人攻擊時必須發揮其使用性,否則由於防爆門之損壞而 造成人員及武器無法出入掩體,將影響作戰任務之遂行。
- 二、面對敵人武器攻擊時,防爆門必須能承受炸彈爆炸所產生之爆壓力,以能再度發揮其使用性,目前國軍對於防爆門之設計均參照美軍規範TM 5-1300及TM5-855-1為主。
- 三、本文將以深入淺出方式說明各種爆壓型式及其對防爆門之影響,其次介紹 防爆門種類及各部位功能,最後針對防爆門設計考量及流程做一介紹,以 做為國軍防爆門設計之參考。

關鍵詞:爆壓型式、防爆門、防爆門設計。

前言

防護系統能在戰時保護人員之安全及發揮武器裝備之功能,國軍重要掩體防護設施大部分有設置防爆門,防爆門一般均設置在掩體出入口,面對敵人武器攻擊時,防爆門必須能承受炸彈爆炸所產生之爆壓力,以能再度發揮其使用性,目前國軍對防爆門之設計均參照美軍規範TM5-1300及TM5-855-1為主^[1],惟其內容是以爆壓防護為主,然防爆門設計涉及範圍甚廣,包括敵人之威脅分析、武器效應、爆炸型態、爆壓計算、防爆門選用及各部位設計等,本文係針對防爆門板在爆壓下之設計流程做一介紹,以做為國軍防爆門設計之參考^[2]。

註1:陸軍司令部,「軍事工程教範」,陸軍司令部,桃園,2004年,頁28-30。

註²: TM5-855-1, "Technical Manual-Design and Analysis of Hardened Structures to Conventional Weapon Effects," U. S. Department of the Army, 1998. P. 2-3

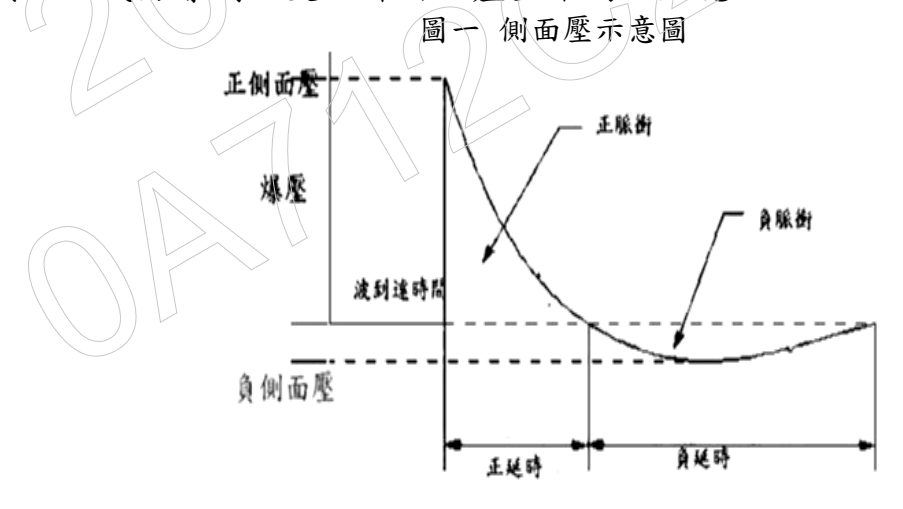
各類型爆壓及對防爆門之影響

一、武器效應[3]

敵人之威脅評估為防爆門必備之需求,本研究以傳統武器為主,傳統武器之型態約可分為槍彈、砲彈、炸彈、火箭與飛彈等五種型式,若不考慮直接命中,炸彈產生之爆壓對防爆門有較大之影響,高爆型炸彈之型式約可分成通用彈、破片彈、穿甲彈、半穿甲彈及油爆彈等幾種,其中通用彈(GP彈)爆炸威力較大,所以採用通用彈來設計。

二、爆壓現象

爆藥爆炸為一急速之化學燃燒作用,產生之爆壓效應包含超壓及動態壓。超壓為一高壓波前,由炸點中心經由介質向周圍擴散,最大壓力發生在波前,此值稱為尖峰入射壓力。因以爆波前進方向之平行面上測得,故稱為側面壓(圖一)。圖中負壓之產生為離爆炸中心一定距離時,會發生超壓後方壓力小於大氣壓力情形(圖二),此為負相或吸著現象。在負相產生之處,空氣粒子往低壓處(爆炸中心)方向移動,與往外推進之正相(壓力大於大氣壓力)部份,形成兩種相反之壓力波進行方向,一般防護設計均不考慮負壓之影響,但若為柔性結構(如鋼結構),因有回彈效應,故可能需考慮負壓之作用;動態壓為因空氣分子移動速度較爆波慢,而伴隨在波前緣後方產生強風,亦會對結構物發生作用。當波前撞擊至防爆門後,整個防爆門均會籠罩在爆波中,而作用在防爆門正面上之爆壓與分佈,則依爆藥材料與重量,炸點與結構物間之距離與角度,波前與地面或防爆門之交互作用而產生不同之效應。[4]

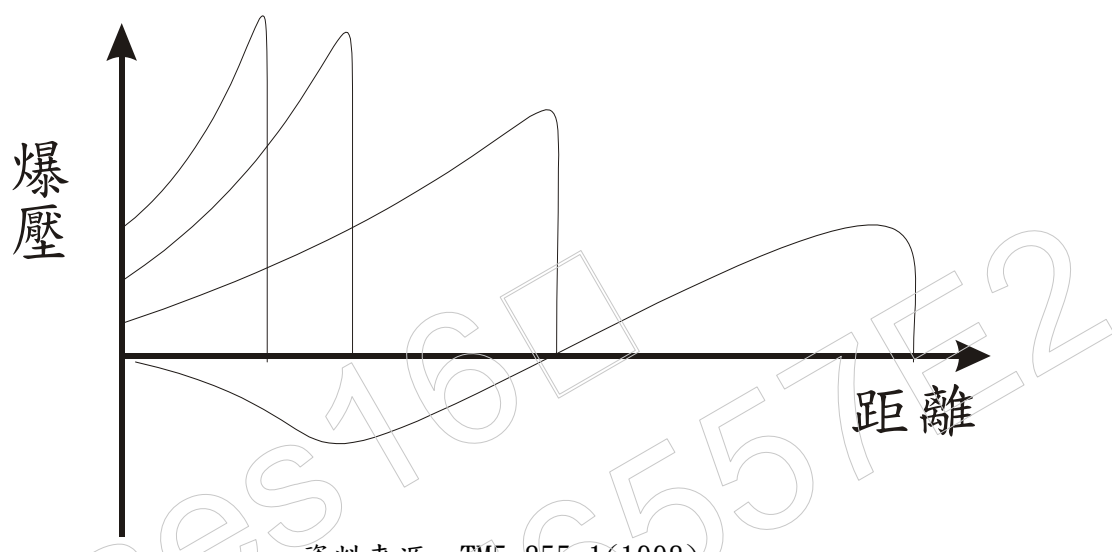


資料來源: TM5-855-1(1998)

註³: TM5-855-1, "Technical Manual-Design and Analysis of Hardened Structures to Conventional Weapon Effects," U. S. Department of the Army, 1998.P.3-4

註⁴: TM5-855-1, "Technical Manual-Design and Analysis of Hardened Structures to Conventional Weapon Effects," U. S. Department of the Army, 1998.P.5

圖二 負壓發生示意圖



資料來源: TM5-855-1(1998)

三、各類型爆炸對防爆門之影響[5]

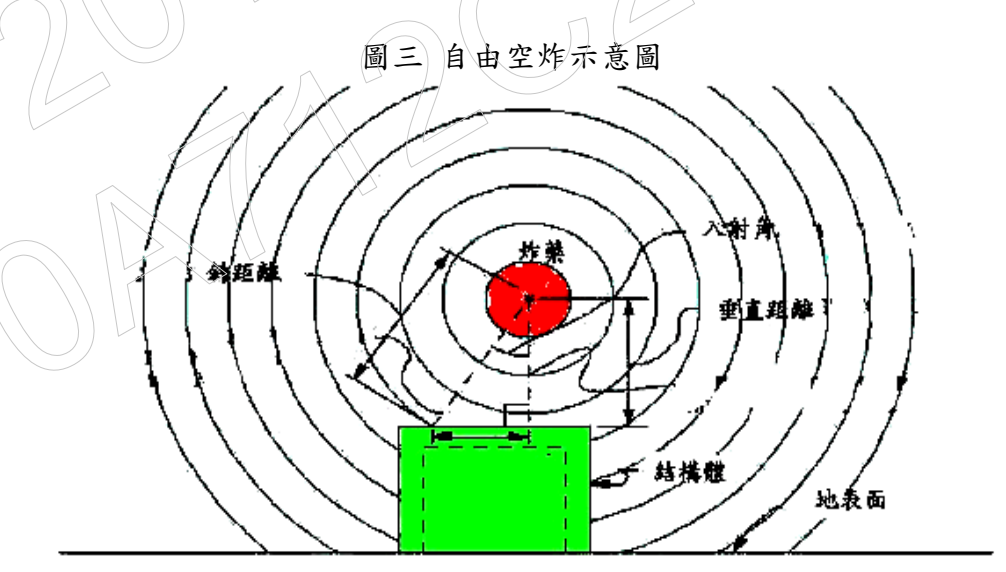
依炸點與結構物間之幾何關係,大致可分為無圍束爆炸及圍束爆炸。

(一)無圍束爆炸

爆壓在完全無限制之情形下對防爆門有直接破壞作用,可分為自由空炸、 空炸與地面爆炸等。

1. 自由空炸

當爆壓位置在自由空氣中時,其衝擊波不受地面反射波之干擾,炸源呈 輻射狀球形擴散至接觸結構物表面(圖三)。

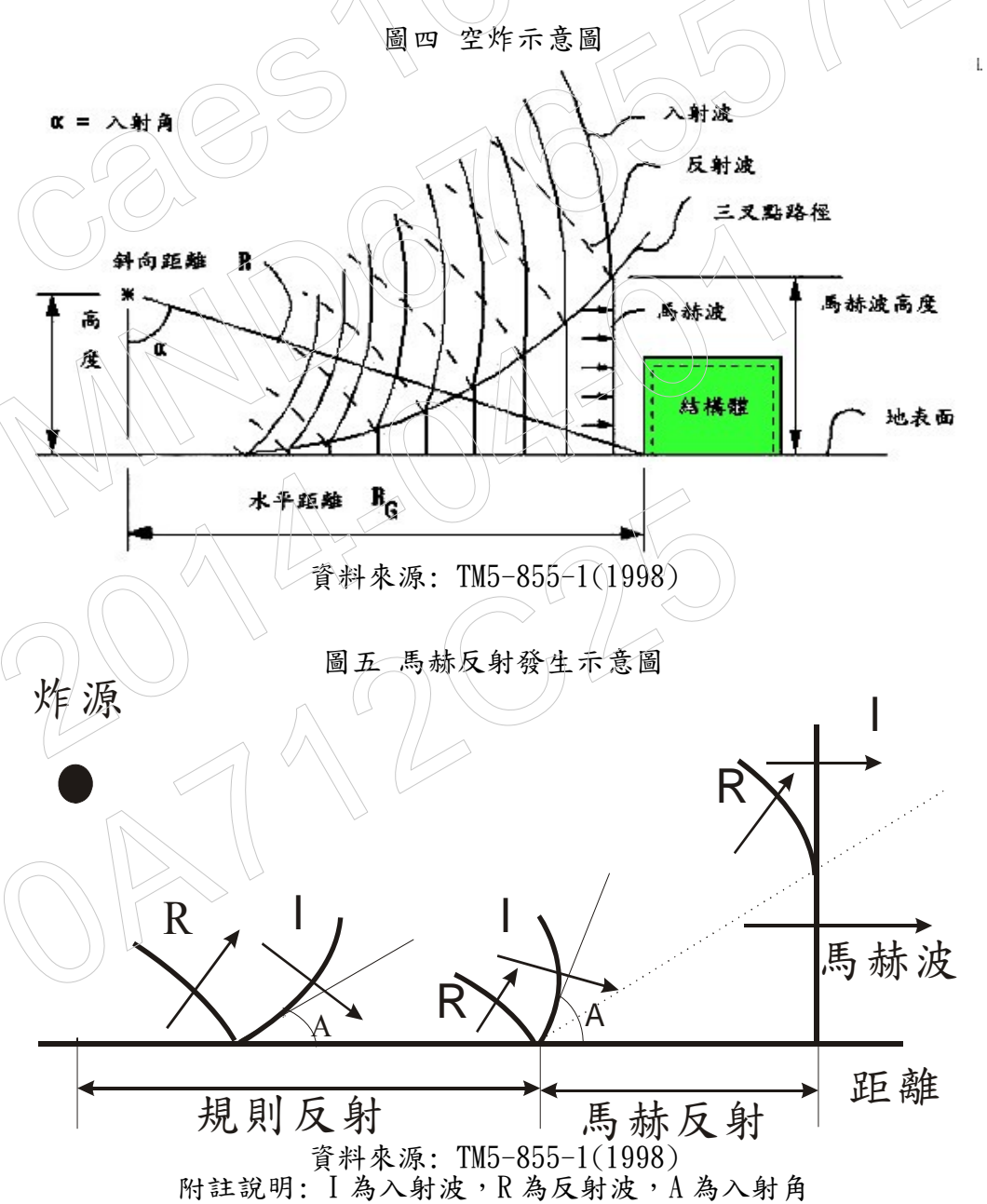


資料來源: TM5-855-1(1998)

註⁵: TM5-855-1, "Technical Manual-Design and Analysis of Hardened Structures to Conventional Weapon Effects," U. S. Department of the Army, 1998.P.6-7

2. 空炸

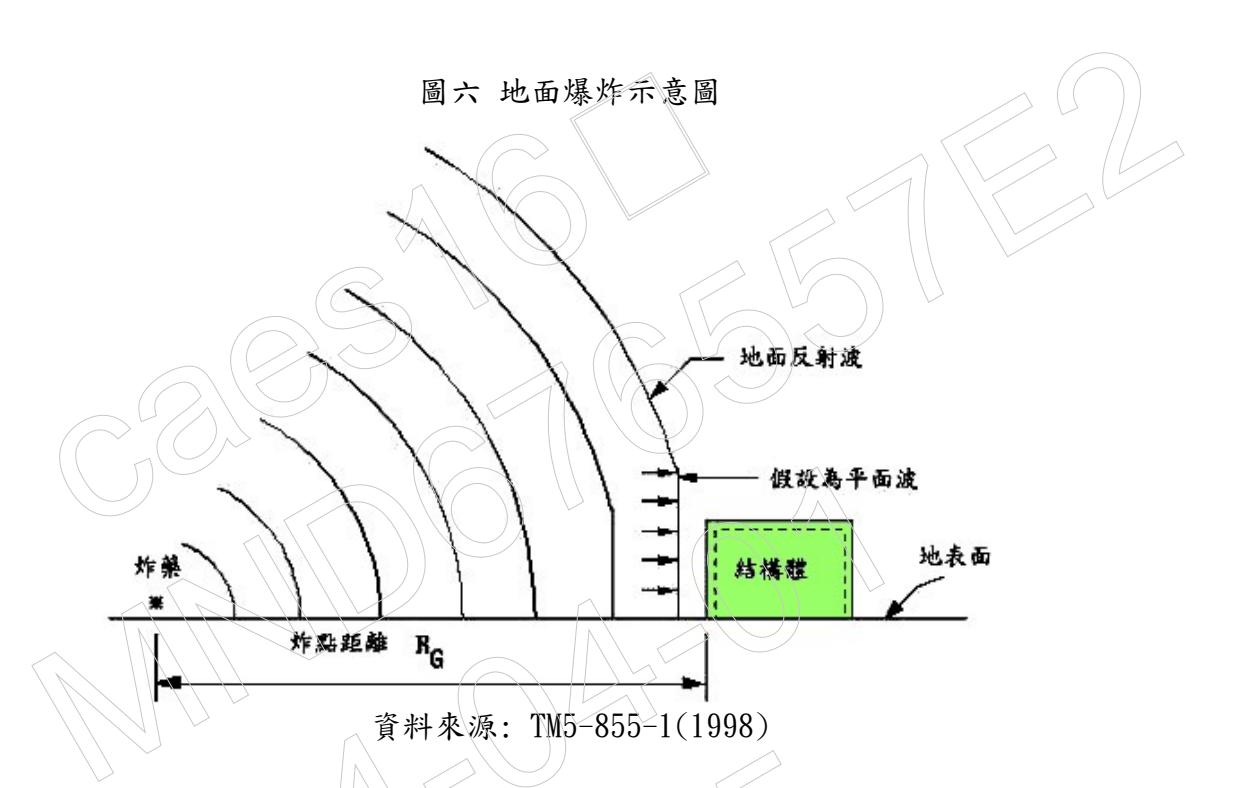
當爆炸位置靠近地表面時,將會產生反射壓力波(圖四),反射壓力波依入射角度可分為正反射及斜反射,正反射為爆波垂直撞至一剛性面,波後之氣流受阻反射,將產生大於側面壓之正反射壓力波,斜反射為爆波斜角撞至一剛性面,波後之氣流受阻反射,亦產生大於側面壓之斜反射壓力波,但會小於正反射壓力波,斜反射依臨界入射角可區分為規則反射及馬赫反射兩階段(圖五),馬赫波為衝擊波與來自地面之反射波互相干擾而形成,此波在三叉點下方為一平面波,其爆壓均勻分佈,其爆壓極值比自由空炸為大[6]。



註⁶: TM5-855-1, "Technical Manual-Design and Analysis of Hardened Structures to Conventional Weapon Effects," U. S. Department of the Army, 1998.P.6-9

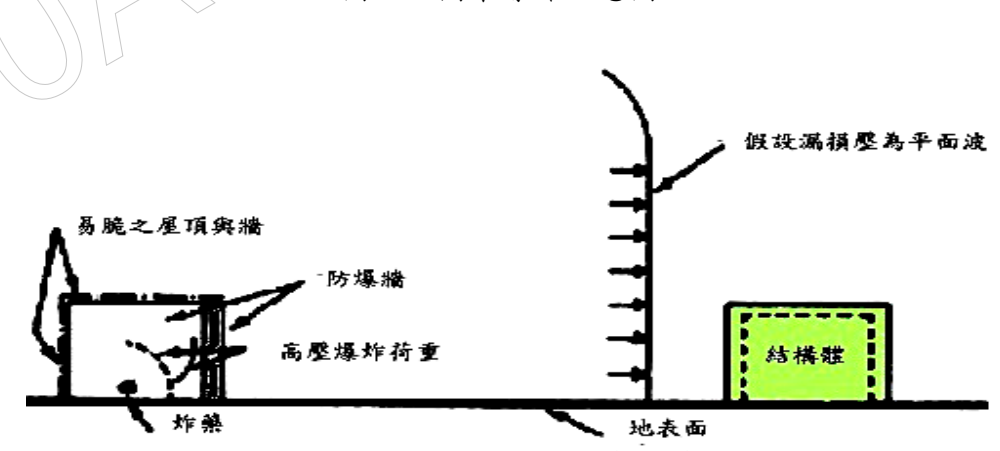
3. 地面爆炸

當炸彈在地表面爆炸時,其衝擊波與地表反射波結合向外傳遞(圖六), 假設炸藥為半球形,衝擊波以半球形向外傳遞,在靠近地面處假設為平面波, 爆壓均勻分佈,此種爆壓比起自由空炸或空炸為大。



(二)部份圍東爆炸

爆壓在完全限制或部份限制之情形下,讓爆壓受圍東而直接減少對掩體之破壞,如防爆牆之設立,可將部份爆壓抵制,而剩餘爆壓溢出至防爆牆內側(如圖七),防爆牆之設計方式不在本文中探討。另外,彈藥庫內部意外爆炸亦為圍東爆炸之一種,其爆壓之計算不在此說明。

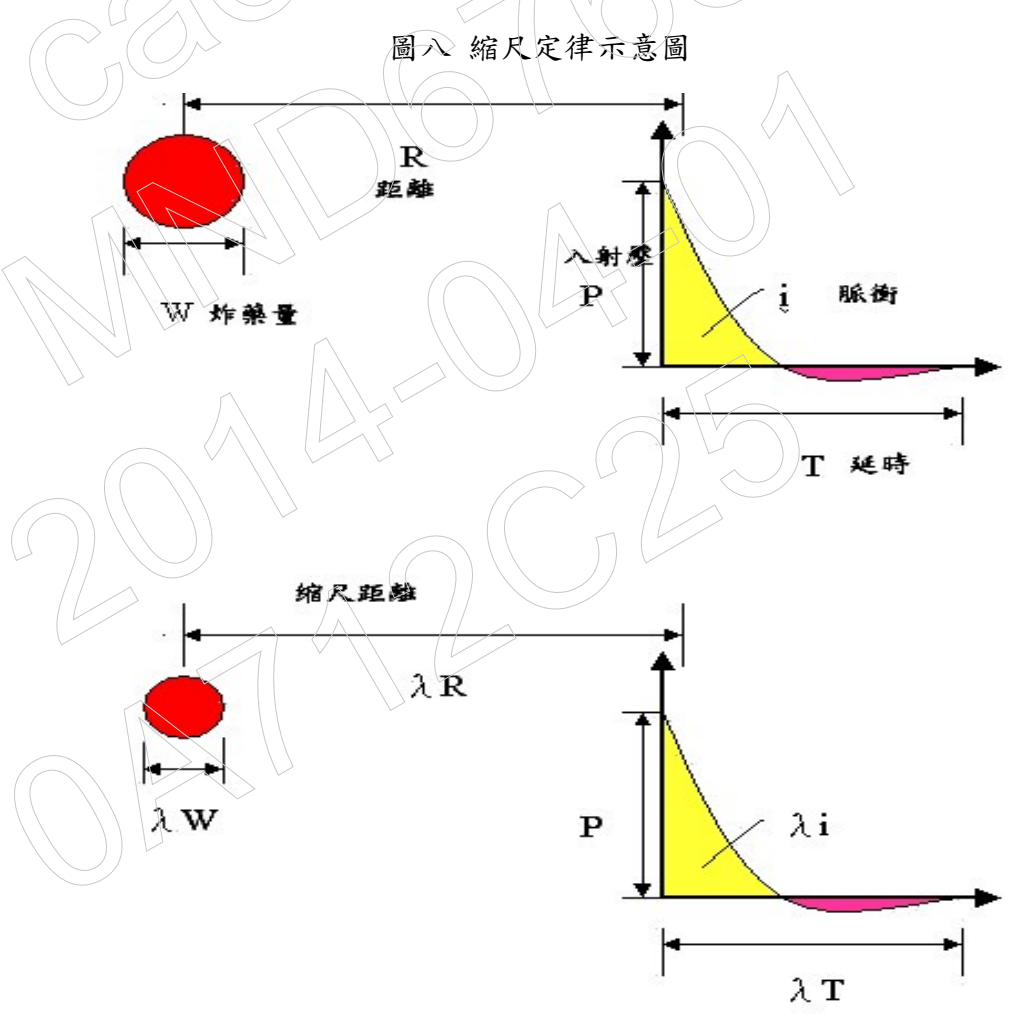


圖七 圍東爆炸示意圖

第 5 頁,共 27 頁

四、爆壓計算[7]

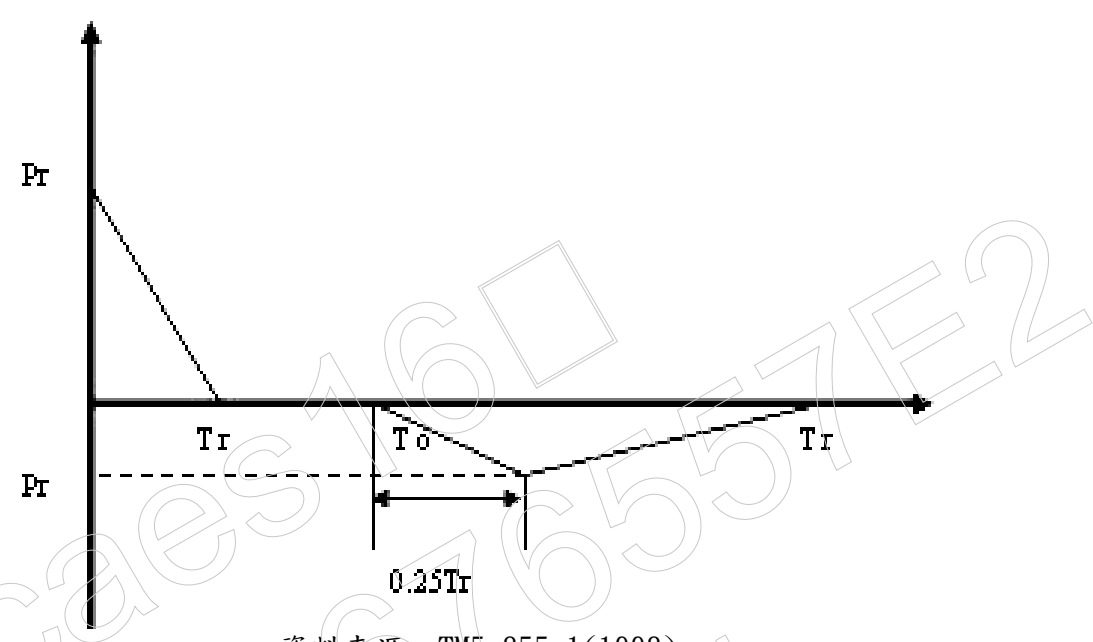
當爆震波撞擊至防爆門後,整個防爆門均會籠罩在爆波中,而作用在防爆門之爆壓與分佈,則依爆藥材料與重量,炸點與結構物間之距離與角度,會產生不同之效應,為使爆壓參數具有通用性,以海平面大氣壓為標準大氣壓,並以TNT為標準炸藥,將爆波性質縮尺化,利用Hopkinson-Cranz所提出立方根縮尺定律,縮尺定律(圖八)為一觀測者位於炸央 λ R之距離, λ W之炸藥量,延時為 λ T,衝量為 λ i,在縮尺定律中,壓力、溫度、密度和速度在相等時間是不變的,故R/W0.333為距離縮尺量,T/W0.333為時間縮尺量,i/W0.333為衝量縮尺量,因反射壓為結構物表面之爆壓,故均以反射壓來計算結構體所需承受爆壓,而實際爆壓並非線性,為求計算方便,以等值衝量之線性爆壓來計算(圖九)。



資料來源: TM5-855-1(1998)

註⁷: TM5-855-1, "Technical Manual-Design and Analysis of Hardened Structures to Conventional Weapon Effects," U. S. Department of the Army, 1998.P. 20-26

圖九 爆壓計算示意圖



資料來源: TM5-855-1(1998)

附註說明: Pr為反射壓, Tr為反射壓作用時間, To為實際時間延時

防爆門之簡介

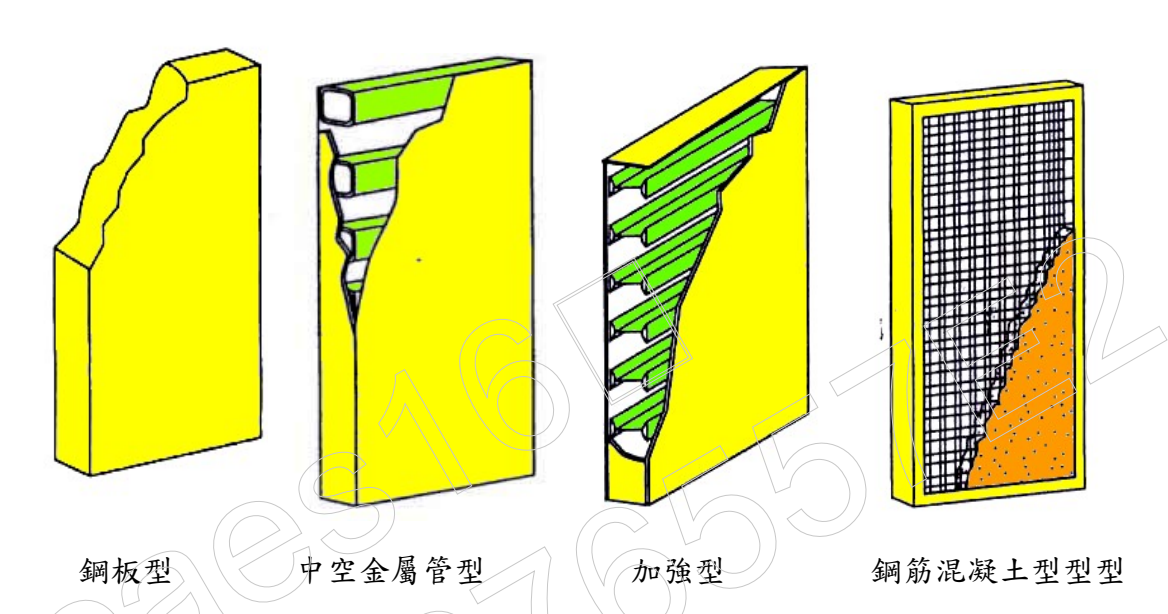
一、防爆門之種類[8]

(一)依材料種類區分

目前防爆門大致可分為鋼材、鋼筋混凝土及鋼板與混凝土結合之防爆門等,鋼材包含鋼板型、中空金屬管型及加強型等(如圖十)鋼板型防爆門因現有規格而造成厚度上之限制,將無法承受過大爆壓而變形,另厚度較大之鋼板會較笨重且昂貴,所以中空金屬管型及加強型門可取代厚度較大之鋼板,其共同特點為較輕及便宜,加強型門則較中空金屬管門承受較大爆壓;鋼筋混凝土型門較鋼板門為笨重,但其成本較低,無論鋼製防爆門與鋼筋混凝土防爆門,兩種門對於震波及輻射均有良好之防護作用,但鋼製防爆門無法對熱阻有良好防護,而鋼筋混凝土防爆門屬剛性結構,當承受爆壓時極易龜裂破壞,故鋼板與混凝土結合之防爆門為依據上述兩種門之特點而產生,此種門須在工廠將鋼框製造完成後運至現場安裝,最後灌注混凝土。

註 8 : 國科會,「地下指揮所出入口抗炸技術」,行政院國家科學委員會,台北,2010年 9月,頁 76。第7頁,共 27頁

圖十 各種防爆門類型



資料來源:國科會,下地下指揮所出入口抗炸技術」,行政院國家科學委員會,台北,2010年。

(二)依開啟方式區分

開口型式大致可分為單開門、雙開門及斜拉門(圖十一)等,單開門及雙開門為最常使用之型式,一般用於掩體內部及外部人員出入口或彈藥儲存等,尺寸規格較斜拉門為小,可用人力或機械推開;斜拉門一般可用於飛機掩體或大型武器屯儲等,必須用機械拉開,斜拉門因束制條件比單開門或雙開門為低,承受爆壓能力亦較小,所以除非有大型特殊需求,應儘量避免使用斜拉門。





單開門型



雙開門型

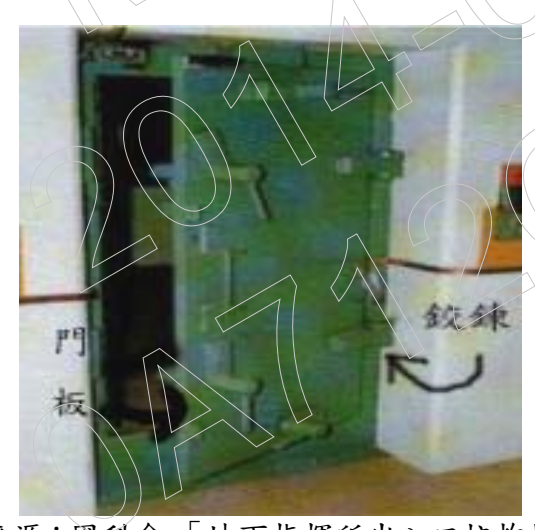


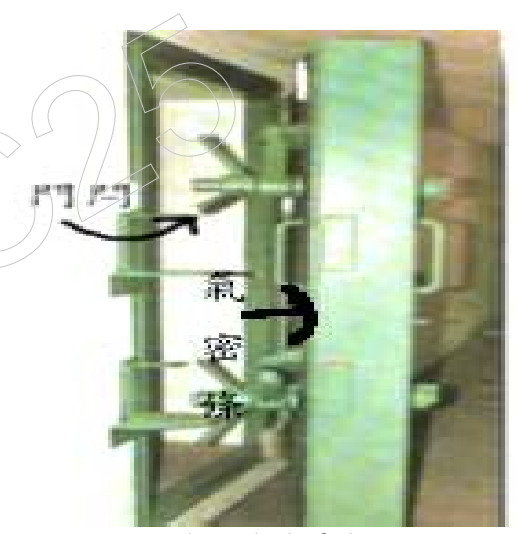
斜拉門型 資料來源:國科會,「地下指揮所出入口抗炸技術」,行政院國家科學委員會,台北,2010 年。

二、防爆門各部位介紹

防爆門由門板、鉸鏈、門門及氣密條等組合(圖十二),其中門板功能為承受爆壓;鉸鏈為門板之轉動軸承,功能為將門板轉動;門門為門板之鎖扣,功能為使門板與門框不分離;氣密條為安裝在門與門框間之橡膠體,功能為保持門與門框密封,以防止爆炸後產生之熱氣體侵入掩體內部。

圖十二 防爆門各部位位置圖





資料來源:國科會,「地下指揮所出入口抗炸技術」,行政院國家科學委員會,台北,2010年。

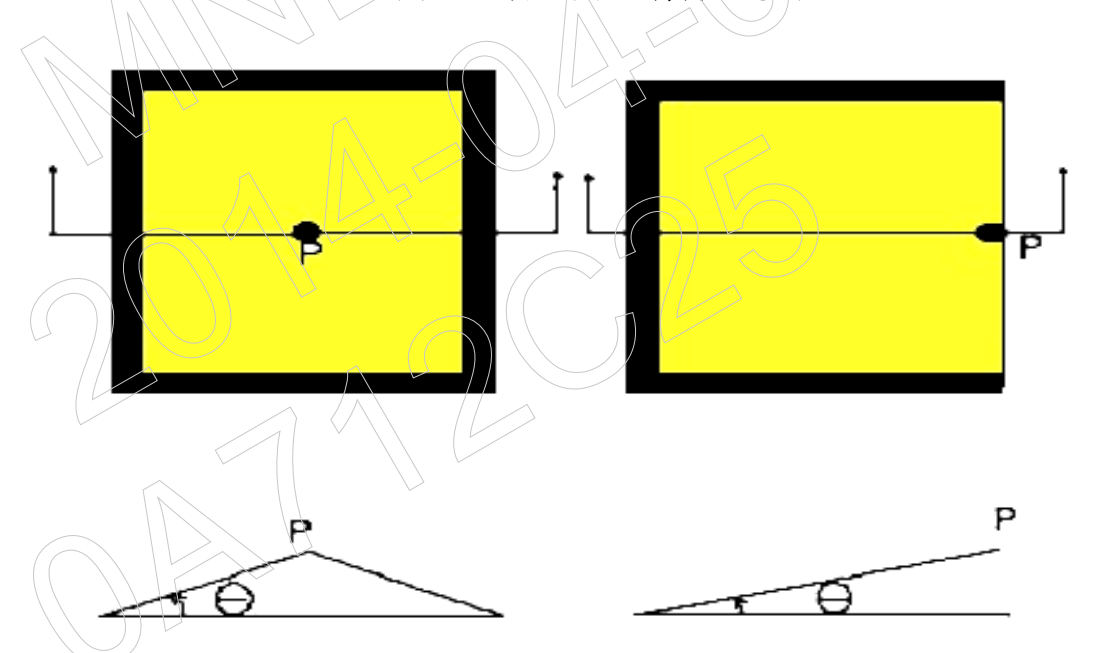
防爆門之設計考量

由美軍規範得知,一般防爆門設計需考慮撓度限制、回彈效應、破片防護 及漏損防護等^[9]。

一、撓度限制

防爆門以板行為來分析,受爆壓後會產生變形,故規範將撓度列為防爆門防護等級之判定,板變形可以支承旋轉角(圖十三)來定義;其防護等級分為四個階段(圖十四),第一階段,門在彈性範圍,無永久變形,門可使用。第二階段,其支承旋轉角在2度以內,門不在彈性範圍,小永久變形,門仍可使用。第三階段,其支承旋轉角在2度至4度之間,門產生永久變形,門可能不能使用。第四階段,其支承旋轉角在4度至12度之間,門產生大永久變形,門不能使用;由上可知,支承旋轉角愈大則門板撓度亦愈大。規範建議板之支承旋轉角最好小於2度,因它可確實避免爆壓及火球進入結構體,使人員及裝備得到良好防護,另為避免門體日後維修之困難,所以最好能在彈性階段內變形,但成本較高[10]。

圖十三 門板支承旋轉角示意圖

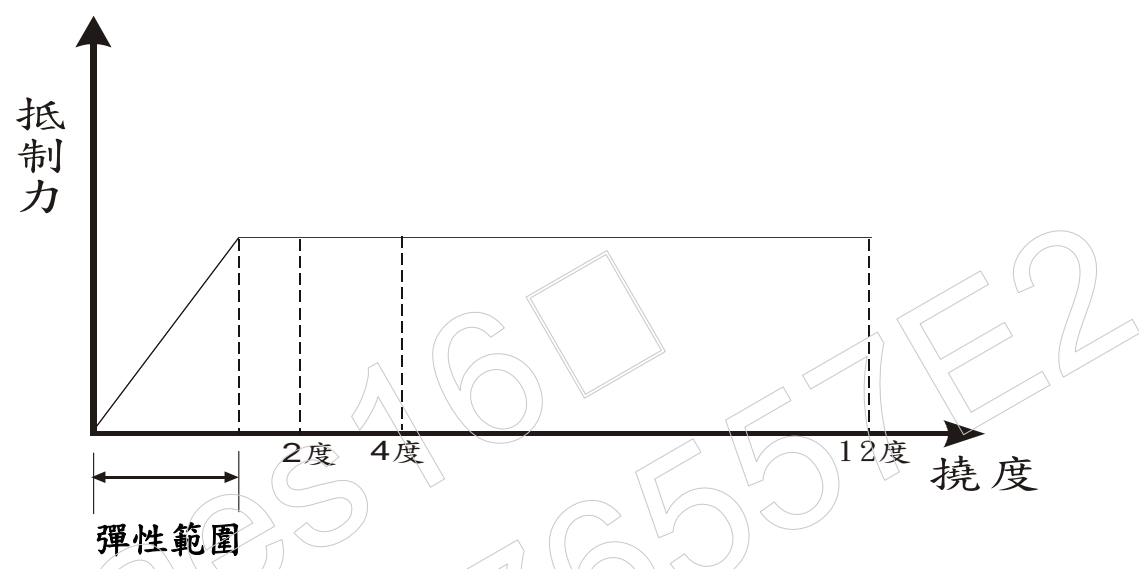


四邊均束制情形,其支承旋轉角由板中點計算(如單開 門形式)

三邊東制,一邊為自由端情形 ,其支承旋轉角由自由端中點 計算(如雙開門型式)

註⁹: TM5-855-1, "Technical Manual-Design and Analysis of Hardened Structures to Conventional Weapon Effects," U. S. Department of the Army, 1998. P. 30-37

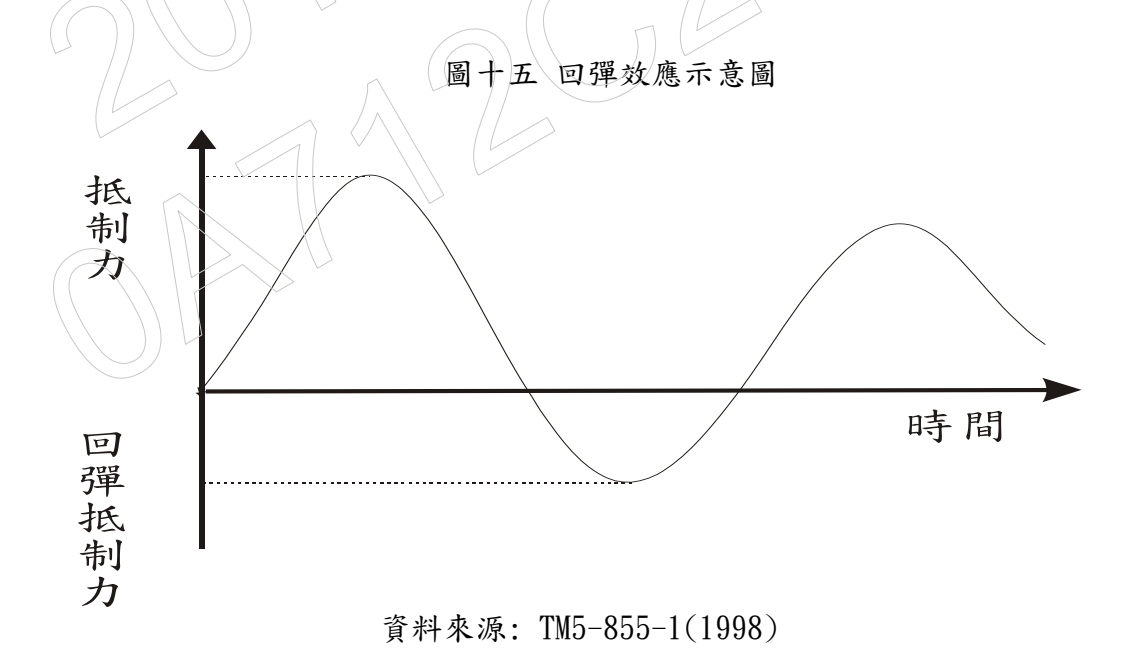
註¹⁰: TM5-855-1, "Technical Manual-Design and Analysis of Hardened Structures to Conventional Weapon Effects," U. S. Department of the Army, 1998. P. 31



資料來源: TM5-855-1(1998)

二、回彈效應

門在受爆壓作用下(圖十五),門板將會產生正向及負向抵制力,其中負向抵制力又可稱回彈抵制力,目前設計方法將防爆門以板之型式來分析;門在回彈過程中,柔性結構(如鋼結構)因所受彈力較大,故較易反應,但為剛性結構(如RC結構),由於勁度大,變形小,回彈時不大會變化,則可不計此效應,所以鋼製防爆門因有回彈效應,須藉由鉸鍊及門門來承受回彈時之荷重,所以鉸鍊及門門之配置非常重要[11]。



註¹¹: TM5-855-1, "Technical Manual-Design and Analysis of Hardened Structures to Conventional Weapon Effects," U. S. Department of the Army, 1998. P. 32

三、破片防護

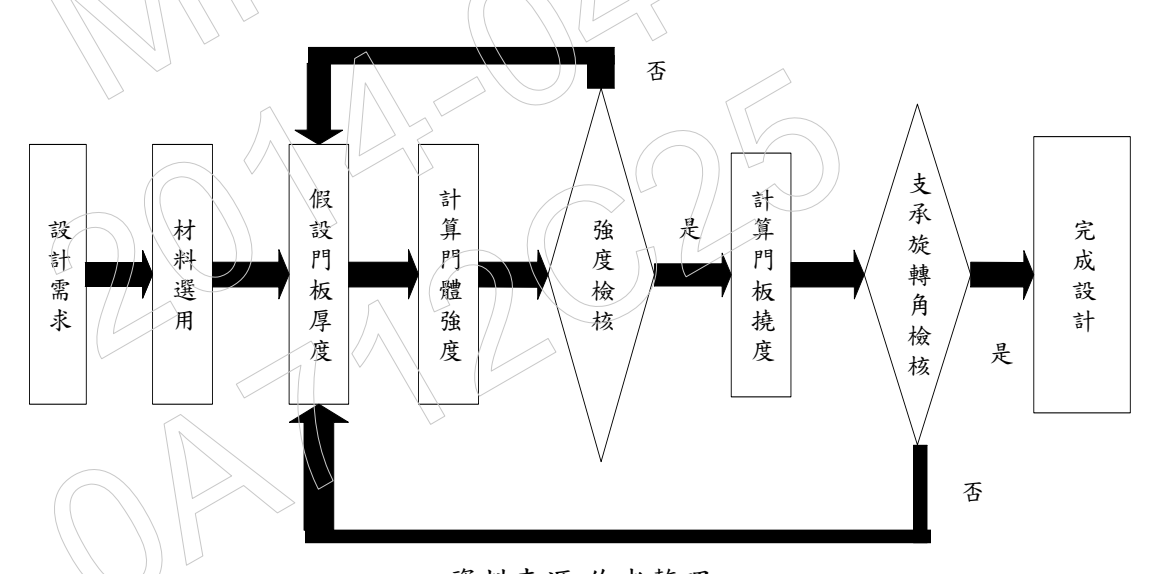
破片可分為主要破片及次要破片,主要破片由炸彈本身所產生,特徵為體積小且非常高速;次要破片由爆壓產生情況下,導致附近碎塊伴隨移動,此種碎片體積較大且速度較慢。若破片以高速方式撞擊防爆門時,極可能貫穿防爆門,故厚度及材料之選擇應須考量防貫穿,其設計方式不在此說明。

四、漏損防護

為防止爆壓及火球效應進入結構體造成內部人員及裝備之傷害,故須在門與牆之交接處使用氣密條密封,其材質通常為橡膠類,具有抗張性、耐寒及電絕緣性等特性。

防爆門之設計流程

防爆門包含門板、鉸鍊、門門及氣密條等組合,本文設計流程係針對門板 來設計,在設計考量方面,僅考量門板撓度限制及回彈效應,其設計流程如圖 十六。



圖十六 防爆門之設計流程

資料來源:作者整理

一、設計需求

本文以爆壓防護為主,在武器效應方面以通用彈來設計,爆壓現象以地面 爆炸來計算,防護等級為支承旋轉角2度以內。

二、材料選用

防爆門之材質有鋼材、鋼筋混凝土及鋼板與混凝土結合之防爆門等,當選 用防爆門材質後,須得到材料參數(彈性模數、單位重、降伏強度、極限強度等), 其材料參數計算流程如下。

(-)計算動態設計應力 (f_{ds})

$$f_{ds} = f_{dy}$$
 (假設支承旋轉角 $\theta \leq 4$)

$$f_{ds} = f_{dy} + \frac{(f_{du} - f_{dy})}{4}$$
 (假設支承旋轉角 $\theta > 4$)

動態降伏應力 $f_{dy} = c \times a \times f_y$,動態極限應力 $f_{du} = c \times f_u$, f_y 為降伏應力, f_u 為極限應力,動態增加因子(c)由應變率增加所致,可區分降伏應力及極限應 力(表一)^[12],而平均強度增加因數(a)為1.1。

降伏應力動態增加因子(C) 鋼材 極限應力動態增 拉力或壓力情形 彎曲情形 加因子(C) 種類 低壓 高壓 低壓 高壓 A36 1.29 1.36 1.19 1.24 1.10 A588 1.19 1.24 1.12 1.15 1.05 A514 1.09 1.12 1.05 1.07 1.00

表一 鋼材降伏應力及極限應力動態增加因子

資料來源: TM5-855-1(1998)

(二)計算動態設計剪應力 (f_{dV}) $f_{.}=0.55f_{.}$ $f_{dv} = 0.55 f_{ds}$

三、假設門板厚度

先假設門板厚度,經過計算後若無法達到標準,則再增加門板厚度。 四、計算門體強度與檢核

(一)計算板之單位寬度彎距容量 彈性斷面模數 $s = \frac{bd^2}{6}$ 塑性斷面模數 $z = \frac{bd^2}{4}$

其中b為板單位寬度,d為門板厚度

註¹²: TM5-855-1, "Technical Manual-Design and Analysis of Hardened Structures to Conventional Weapon Effects," U. S. Department of the Army, 1998. P. 38

塑性彎距
$$M_p = \frac{f_{ds}(z+s)}{2}$$

其中Z為塑性斷面模數,S為彈性斷面模數

(二)計算單位寬度動態極限剪力容量 (V_a)

$$V_p = f_{dv} \times A_w$$
 (其中 A_w 為單位面積)

(三)估計支承剪力並檢核版剪力容量 先假設動態荷重因子DLF(表二)[13]

剪力 $V = \frac{DLF \times P \times H}{2}$,其中P為均佈爆壓,H為門板寬度 (為避免雙向板計算複雜性故簡化以單向板設計)

若
$$\frac{V}{V_p} \le 0.67$$
, Mp需折減,依 $M = M_p (1 - (\frac{V}{V_p})^4)$

大變形

變形程度 最大支承旋轉角(θ) 動態荷重因子(DLF)
 小變形 2 1.0
 中變形 4 0.8

表二 板初始動態荷重因子

資料來源: TM5-855-1(1998)

0.6

(四)計算極限單位抵抗力 ru 及門體四周剪力[14]

12

此部份須考慮四邊是否有束制(板降伏線位置如圖十七),規範將版區分為二邊束制二邊自由端、三邊束制一邊自由端及四邊束制(表三),單開門以四邊束制設計,雙開門以三邊束制一邊自由端設計。茲以單開門設計為例說明如下。由 L/H 查出 x/L 或 y/H (圖十八)進而得 x 及 y 值。門體強度承受之最大均佈靜態壓力 ru 為

$$r_u = 5(\frac{(M_{hn} + M_{hp})}{x^2})$$
 $(x \le L/2)$, $r_u = 5(\frac{(M_{vn} + M_{vp})}{y^2})$ $(y \le H/2)$

Mhp 為水平方向極限單位寬度正彎矩容量

註¹³: TM5-855-1, "Technical Manual-Design and Analysis of Hardened Structures to Conventional Weapon Effects," U. S. Department of the Army, 1998.P.39

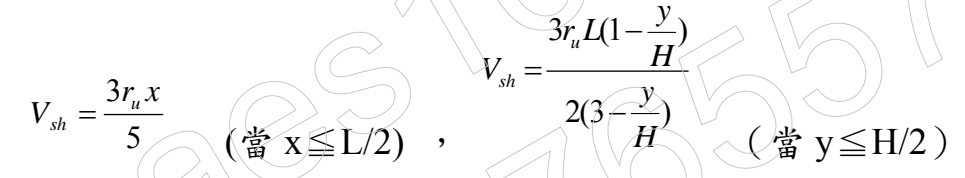
註¹⁴: TM5-855-1, "Technical Manual-Design and Analysis of Hardened Structures to Conventional Weapon Effects," U. S. Department of the Army, 1998.P. 40-41

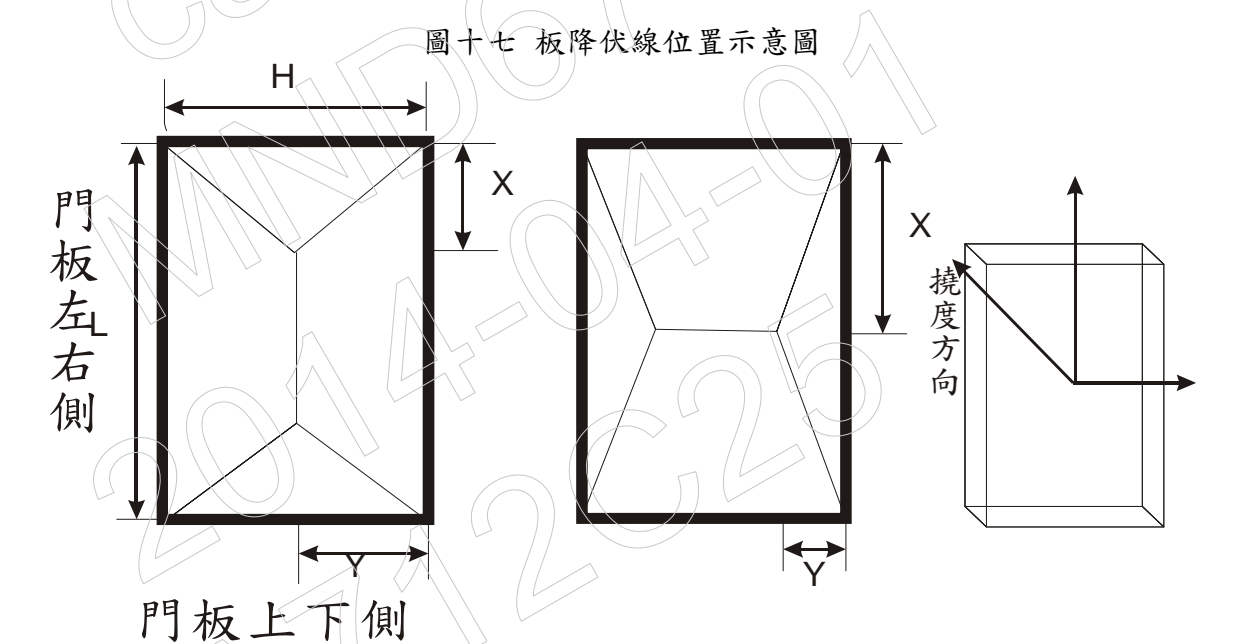
Mhn 為水平方向極限單位寬度負彎矩容量 Mvp 為垂直方向極限單位寬度正彎矩容量 Mvn 為垂直方向極限單位寬度正彎矩容量 門體上下側單位寬度可承受剪力(表四)[15]

$$V_{sv} = \frac{3r_u H(1-\frac{x}{L})}{2(3-\frac{x}{L})}$$

$$V_{sv} = \frac{3r_u y}{2(3-\frac{x}{L})}$$
(當 x \leq L/2)

門體左右側單位寬度可承受剪力 (表 4)



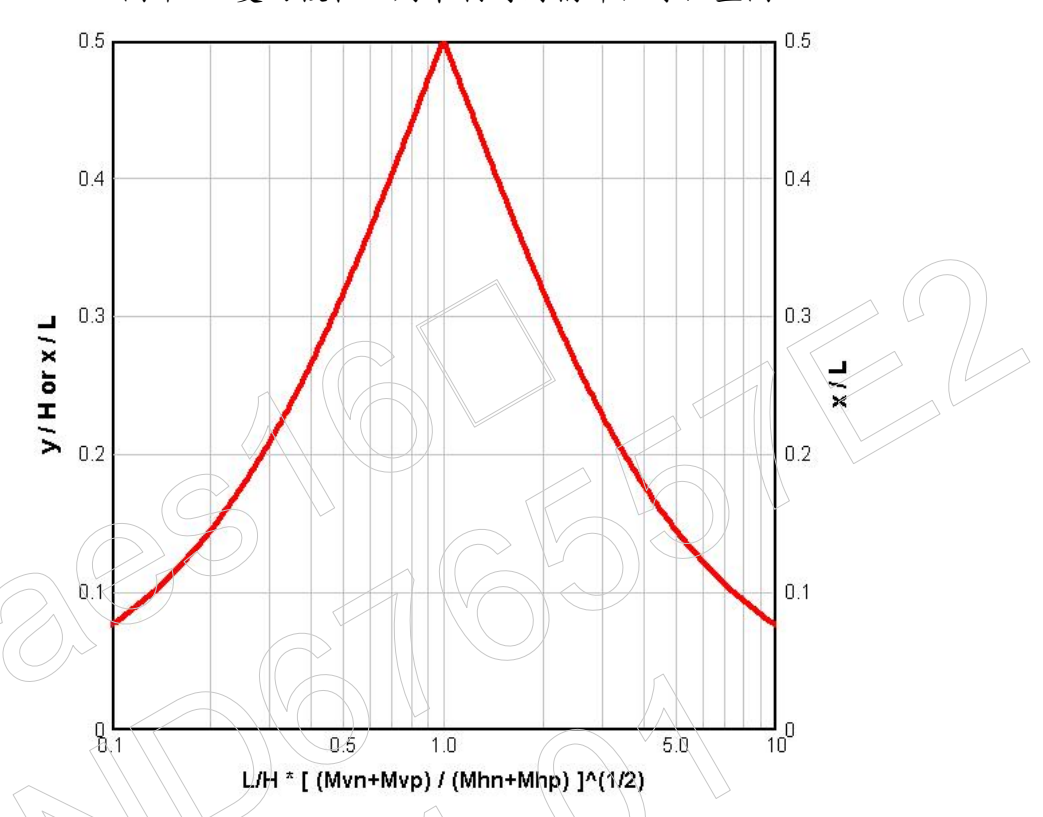


註¹⁵: TM5-855-1, "Technical Manual-Design and Analysis of Hardened Structures to Conventional Weapon Effects," U.S. Department of the Army, 1998.P.42

表三 雙向板之極限單位抵抗力

表三 雙向板之極限單位抵抗力	
邊界 條件 降伏線位置 條件 極限單位抵抗力	
雨 邊 $x \le L$ $\frac{5(M_{HN} + M_{HP})}{x^2} OR \frac{6LM_{VN} + (5M_{VP} - M_{VN})}{H^2(3L - 2x)}$	X
雨 邊自由端 $y \le H$ $y \ge H$ $y \le H$ $y \ge $	<u>y</u>
三 邊 $x \le L/2$ $5(M_{HN} + M_{HP})$ $OR^{2M_{VN}(3L-x) + 10xM_{VP}}$ $H^2(3L-4x)$	
東 制 x^2 $H^2(3L-4x)$ $5(M_{VN}+M_{VP})$ $OR \frac{4(M_{HN}+M_{HP})(6H-y)}{L^2(3H-2y)}$ 自 由 端 L	
$\frac{5(M_{HN} + M_{HP})}{x^2} OR \frac{8(M_{VN} + M_{VP})(3L - x)}{H^2(3L - 4x)}$	
問 邊 東	

圖十八 雙向板在四周束制時對稱降伏線位置圖

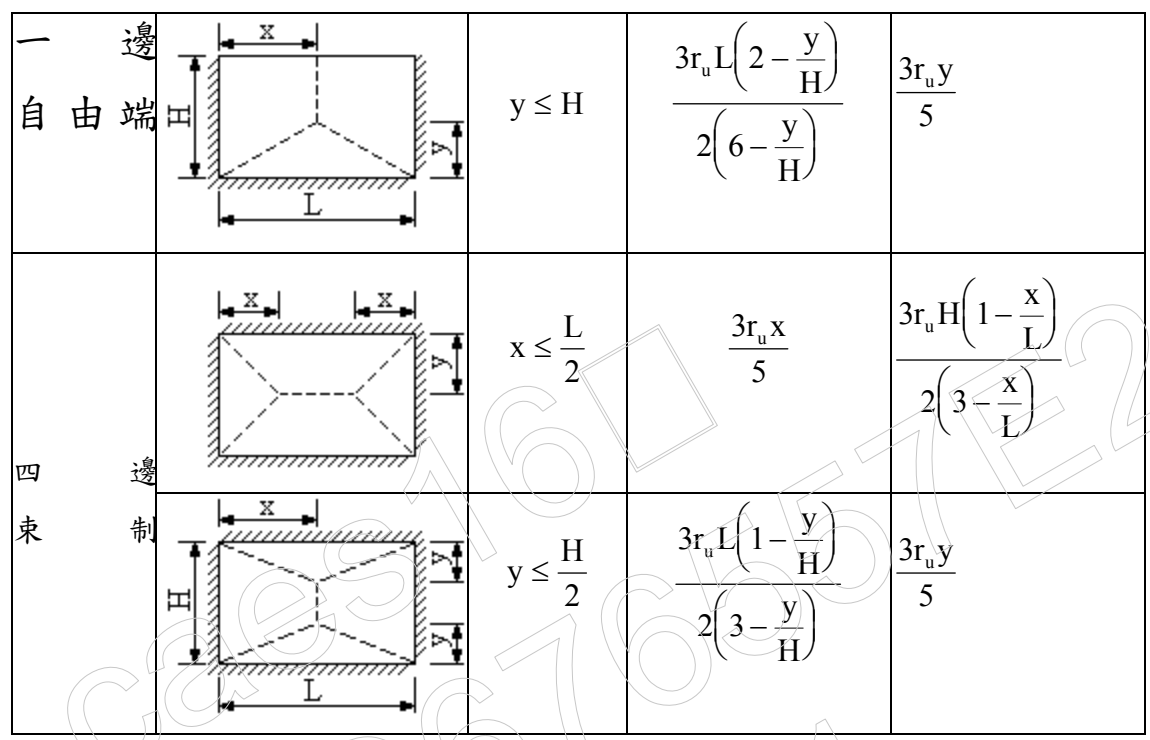


資料來源: TM5-855-1(1998)

表四 雙向板之極限支承剪力

	10 10 1	文门从一级工	1-26 1 27 27	
邊界		限制	L 五前 L (V-L)	壬十前 b (V)
條件	降伏線位置	條件	水平剪力 (Vsh)	垂直剪力(Vsv)
雨邊東制	hannanna X	x ≤ L	$\frac{3r_ux}{5}$	$\frac{3r_{u}H\left(2-\frac{x}{L}\right)}{\left(6-\frac{x}{L}\right)}$
兩邊自由端	**************************************	y≤H	$\frac{3r_{u}L\left(2-\frac{y}{H}\right)}{\left(6-\frac{y}{H}\right)}$	$\frac{3r_uy}{5}$
三邊東制		$x \le \frac{L}{2}$	$\frac{3r_{u}x}{5}$	$\frac{3r_{u}H\left(1-\frac{x}{L}\right)}{\left(3-\frac{x}{L}\right)}$

第 17 頁,共 27 頁



資料來源: TM5-855-1(1998)

五、計算門體撓度

此部份考慮不同東制條件之影響,例如四周固定端及四周簡支端在固定爆壓下會產生不同撓度,其計算過程如下。

1. 計算等值彈性勁度 KE

$$K_E = \frac{r}{u} = \frac{D}{\gamma H^4}$$
, $D = \frac{EI}{(1 - v^2)}$

其中 u 為撓度,E 為材料楊氏係數,I 為單位寬度慣性矩,r 為單位抵制力, ν 為柏松比, γ 為撓度係數,依不同邊界條件而改變,四周為固定端時查圖十九,四周為簡支端時查圖二十[16]。

2. 計算等值彈性撓度 XE

$$X_E = \frac{r_u}{K_E}$$

3. 計算桿件有效單位面積質量 me

$$m_e = K_{\scriptscriptstyle LM} \times m$$

其中 KLM 為荷重質量因子(表五)[17]

m為單位面積質量

註¹⁶: TM5-855-1, "Technical Manual-Design and Analysis of Hardened Structures to Conventional Weapon Effects," U. S. Department of the Army, 1998.P.44

註¹⁷: TM5-855-1, "Technical Manual-Design and Analysis of Hardened Structures to Conventional Weapon Effects," U. S. Department of the Army, 1998. P. 45

4. 計算自然振動週期 Tn

$$T_n = 2\pi \sqrt{\frac{m_e}{K_E}}$$

5. 決定門板最大撓度 Xm

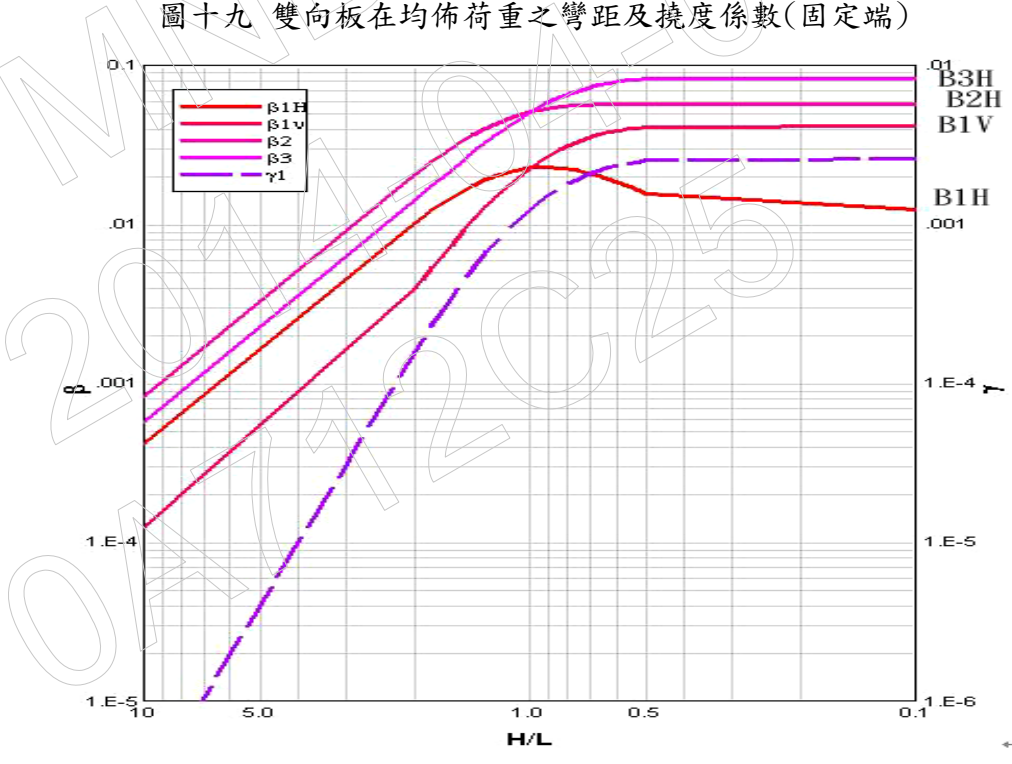
由 $\frac{r_u}{P}$, $\frac{T}{T_n}$ 求得 $\frac{X_m}{X_E}$ 比值(圖二十一)[18],適用於爆壓歷時為三角形狀, + 以留白山府日端朔州行為公析,淮而求出 X_m 。

並以單自由度且彈塑性行為分析,進而求出 Xm。

但若
$$\frac{X_m}{X_E}$$
<1 時,查圖二十二[19]得動態荷重因子(DLF)

(六)支承旋轉角檢核

 $\theta = \tan^{-1}(\frac{X_m}{H})$,若所求出之 θ 小於最先所預設之值時則為合格,否則須重新 考慮門板文厚度。



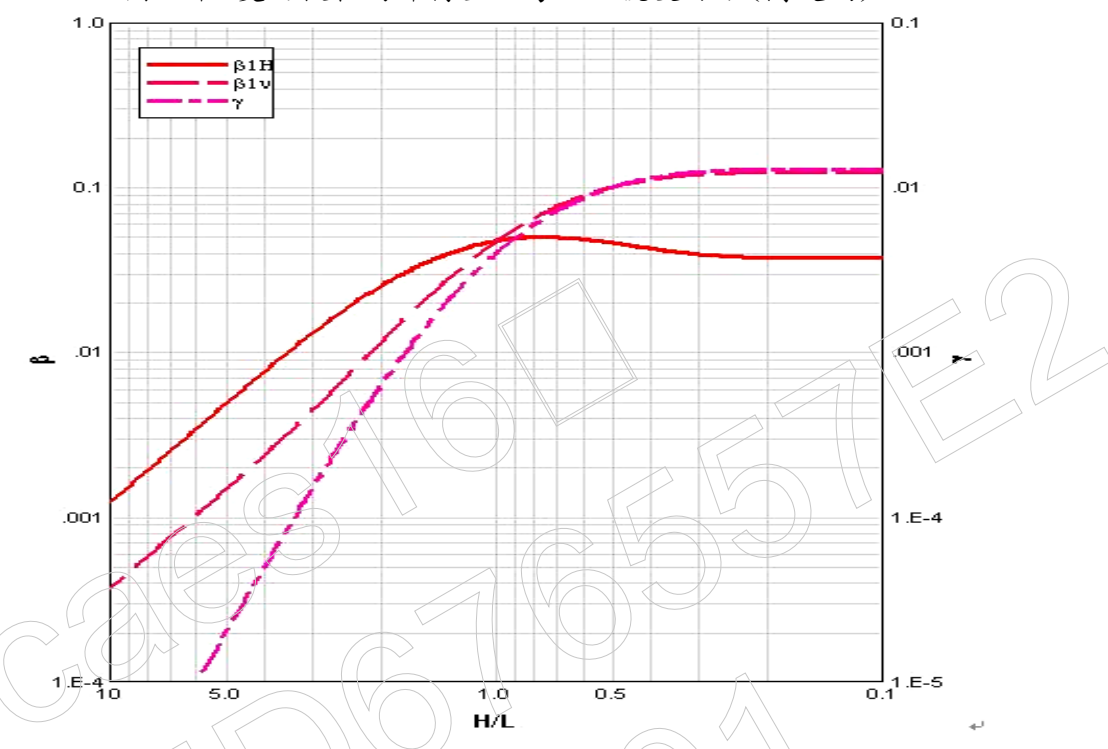
圖十九 雙向板在均佈荷重之彎距及撓度係數(固定端)

資料來源: TM5-855-1(1998)

註¹⁸: TM5-855-1, "Technical Manual-Design and Analysis of Hardened Structures to Conventional Weapon Effects," U.S. Department of the Army, 1998.P.46

註¹⁹: TM5-855-1, "Technical Manual-Design and Analysis of Hardened Structures to Conventional Weapon Effects," U. S. Department of the Army, 1998. P. 47-48

圖二十 雙向板在均佈荷重之彎距及撓度係數(簡支端)



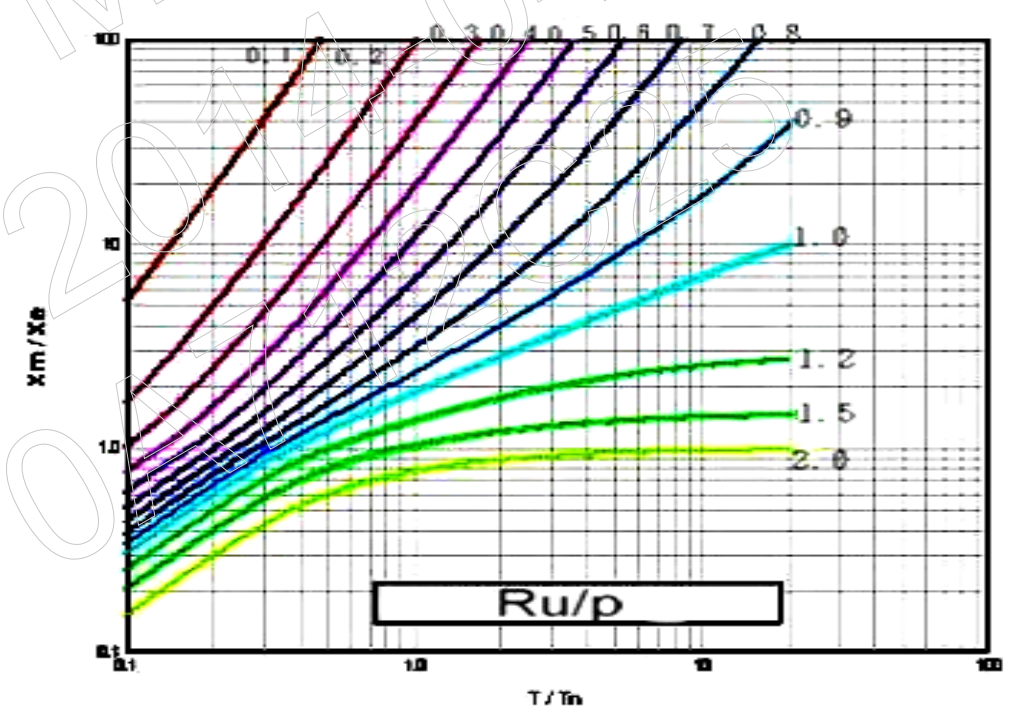
表五 雙向板在彈性與彈塑性範圍之荷重-質量因子

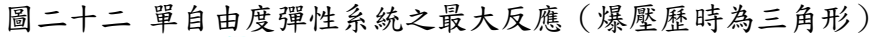
		化五 文马次声	-31 (47) 3 2 1	一和田一門王	<u> </u>	
	彈性及彈塑性範圍					
支承條件	L/H	所有支承固	一個簡支承	二個簡支承	三個簡支承	所有支承
		定	其餘固定	其餘固定	其餘固定	固定
雨邊固定 雨邊自由 H	ALL	0.65	0.66	-	-	0.66
三邊自由	L/H<0.5	0.77	0.77	0.79	_	0.79
一邊自由						

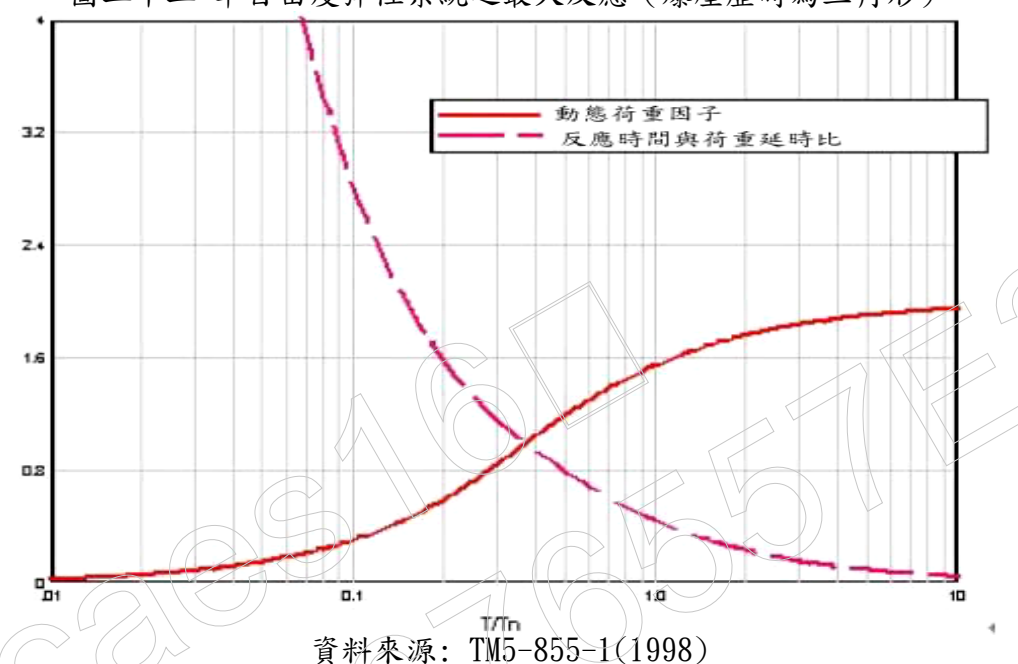
Н	.5≦L/H ≦2 L/H≧2	0.65- 0.16(L/2H-1) 0.65	0.66- 0.144(L/2H-1) 0.66	0.65- 0.186(L/2H-1) 0.65	- -	0.66- 0.175(L/H-1) 0.66
L						
四邊固定	L/H=1	0.61	0.61	0.62	0.63	0.63
Н	1≦L/H≦ 2	0.61+ 0.16(L/H-1)	0.61+ 0.16(L/H-1)	0.61+ 0.16(L/H-1)	0.61+ 0.16(L/H-1)	0.61+ 0.16(L/H-1)
L	L/H≥2	0.77	0.77	0.78	0.79	0.79

資料來源: TM5-855-1(1998)

圖二十一 單自由度彈塑性系統之最大撓度(爆壓歷時為三角形)







防爆門之設計範例

一、已知資料

長84in,寬48in,厚2in之單開鋼門,門四周貼附氣密條,鋼板降伏強度為50ksi,柏松比為0.3,彈性模數為29600ksi,單位重為490pcf,假想以1000磅(內含50%TNT)GP彈在距離20ft進行地面爆炸。

二、防護需求

需求防護能力分別為入射壓力大於 10bar (147psi),反射壓力大於 80bar (1176psi),支承旋轉角在2度以內。

三、設計經過

(一)爆壓計算

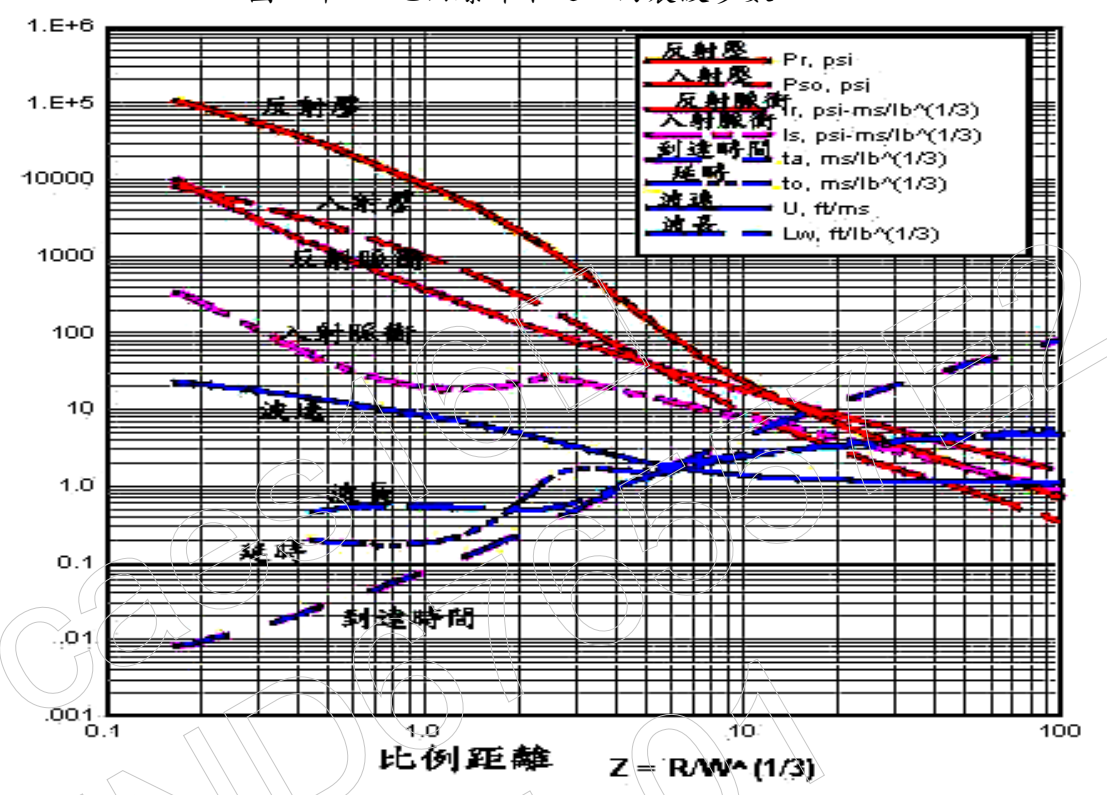
1. 查圖二十三並依比例距離 (其中 R 為炸源距離, W 為炸藥重量(需增加 20%安全係數)) [20], 可求得入射壓為 223. 1psi, 反射壓為 1384. 4psi, 故均符合需求防護能力。

2. 查圖二十四可求出負向作用下各參數,而由圖二十三及二十四可求出正向及負向作用下之反射壓力 (Pr) 及反射衝量 (ir),故反射壓作用時間 (tr),依公式 tr=2ir/Pr,爆壓歷時如圖二十五^[21];若不計負壓影響,爆壓時間為1.31ms,最大反射壓為1384.3psi。

註²⁰: TM5-855-1, "Technical Manual-Design and Analysis of Hardened Structures to Conventional Weapon Effects," U. S. Department of the Army, 1998. P. 49-51

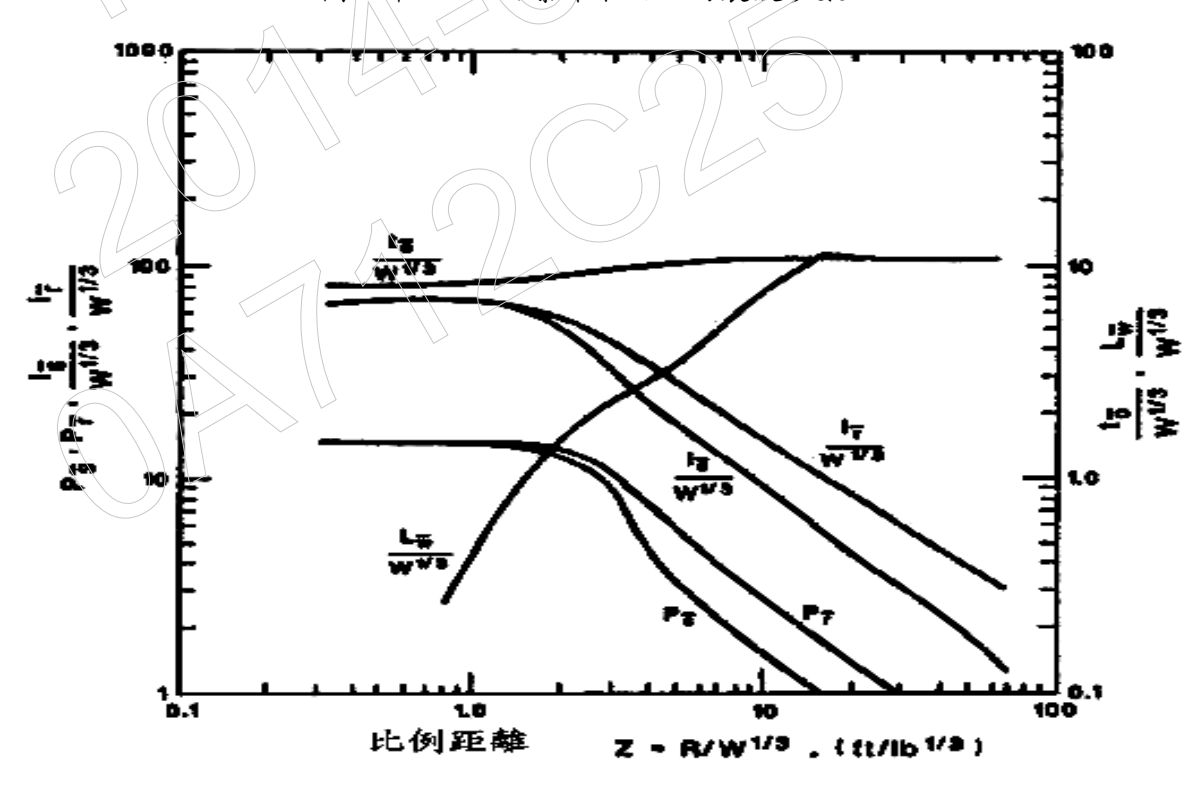
註²¹: TM5-855-1, "Technical Manual-Design and Analysis of Hardened Structures to Conventional Weapon Effects," U. S. Department of the Army, 1998. P. 52

圖二十三 地面爆炸下之正向震波參數

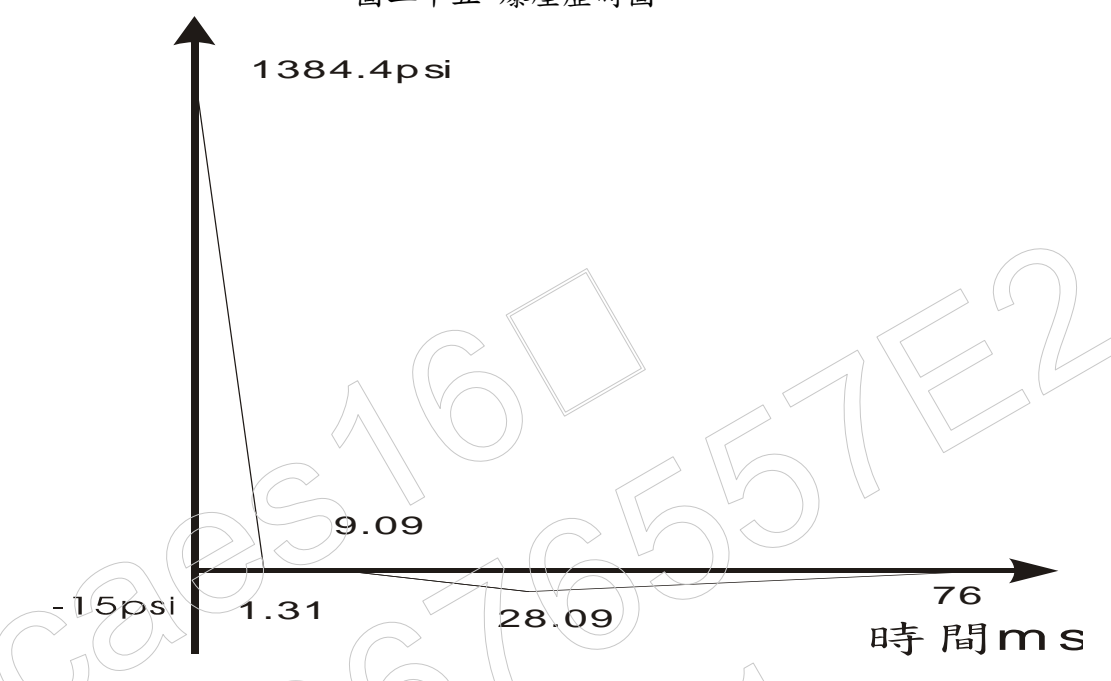


資料來源: TM5-855-1(1998)

圖二十四 地面爆炸下之正向震波參數







資料來源: TM5-855-1(1998)

(二)防爆門板厚度設計

門四周因有氣密條與門框相貼,所以假設門體四邊為固定端,厚度為2in。

1. 動態增加因子 c=1.24 (表一)

動態降伏強度 $f_{dy} = 1.24 \times 1.1 \times 50000 = 68200 psi$

動態剪力強度 $f_{dv} = 0.55 \times 68200 = 37510 psi$

單位寬度彈性斷面模數
$$S = \frac{1 \times 2^2}{6} = 0.67$$
 in $3/in$

單位寬度塑性斷面模數
$$Z = \frac{1 \times 2^2}{4} = 1$$
 in 3/in

單位寬度極限彎矩強度 $M_p = \frac{f_{dy}(S+Z)}{2} = \frac{68200 \times (0.67+1)}{2}$

=56947 lb-in/in

單位寬度極限剪力強度 $V_P = 37510 \times 2 = 275020 lbs / in$

單位寬度剪力強度
$$V = \frac{1 \times 1384.4 \times 48}{2} = 33225.6 lbs/in$$

 $\frac{V}{V_p} = 0.44 < 0.67$ 2. 因 $\frac{V}{V_p}$

,故不需折減 Mp

由圖十八及表三可知

$$\frac{L}{H} = 1.75 \qquad \frac{x}{L} = 0.35$$

 $x = 0.35 \times 84 = 29.4in$

第 24 頁,共 27 頁

$$r_u = \frac{10 \times 56947}{29.4^2} = 658.83 \, psi$$

若門板為固定端時,極限單位抵抗均佈壓力 門體上下側承受單位寬度剪力

$$V_{sv} = \frac{3 \times 1384.4 \times 48 \times (1 - 0.35)}{2 \times (3 - 0.35)} = 24449 lbs/in < V_P$$
 (檢核合格)

門體兩側承受單位寬度剪力

$$V_{sh} = \frac{3 \times 1384.4 \times 29.4}{5} = 24420.8 lbs / in < Vp$$

(檢核合格)

I=0.667 in 4/in

$$K_E = \frac{EIb(1 - v^2)}{rH^4} = 1410.2 \, psi / in$$

$$X_E = \frac{658.83}{1410.2} = 0.467 in$$

KLM=0.73 當
$$\frac{L}{H}$$
 = 1.75 (表五)

M=1468psi-ms2/in

$$M_e = 0.73 \times 1468 = 1071.64 \text{ psi-ms2/in}$$

振動週期
$$T_n = 2\pi \sqrt{\frac{1071.64}{1410.2}} = 5.47ms$$

查圖 21
$$\frac{R_u}{P} = \frac{658.83}{1384.4} = 0.476$$

$$\frac{t_r}{T_n} = 0.239 \qquad \frac{X_m}{X_E} = 1.63$$

(因值大於1,門已進入塑性範圍)

最大位移=0.76in

最大轉角=1.81°<2°

四、分析結果

此門在受爆壓後,不會造成結構體內部人員及裝備之傷害,門可能會產生小永久變形,所以2in門板厚度可符合設計需求。

以整體防護系統而言,掩體進出口為防護之弱點,防爆門設置在進出口, 其重要性可想而知,防爆門屬被動式之防禦系統,要如何減少對防爆門之損壞 乃為規劃設計之重點,如在防爆門前方設立防爆牆或者將防爆門隱藏至掩體內 部,避免門體與爆震波直接接觸為最有效方式,本文僅針對防爆門直接在爆壓 作用下進行探討。在武器效應方面,通用彈爆炸威力最大,建議以通用彈來設 計;在爆炸型式方面,地面爆炸產生效應最大,建議以地面爆炸來計算爆壓; 在防爆門材料方面,可依各單位需求來設計,若不考慮熱阻效應,一般以鋼製 防爆門為主,在鋼製防爆門選用中,若考量鋼板厚度大而產生高經濟成本時, 則可選用中空金屬管型或加強型防爆門,若考慮熱阻效應或破片效應,則建議 選用鋼板與混凝土結合之防爆門;在門開啟方式方面,除非有特殊需求, 東國大學與門體成直角,可降低爆壓對門體之作用;無論何種防爆門型式,應避 免受攻擊後而無法使用,所以設計應在彈性範圍且支承旋轉角在 2 度以內,但 若爆壓超過預期設計而造成永久變形無法使用時,應可由兩側或內側拆除門 體,以確保人員或武器裝備能順利進出。

本文僅針對在爆壓下門板之設計提出探討,而武器效應尚有破片撞擊效應、電磁脈衝效應、熱輻射效應及有害氣體效應等;結構設計除門板外,尚有鉸鍊、門門及氣密條之設計;另惡劣之環境條件下會降低裝備性能與可靠度,台灣主要氣候環境為高溫、濕度、颱風、雨、鹽霧、砂石及太陽輻射等,將會造成表面金屬磨損與腐蝕、活動部份機械卡死及密封失效等,目前設計規範或相關書籍並未做明確說明,部份仍在研究中,期望學術單位能完成相關研究,而使防爆門設計更趨於完善。

作者基本資料

王成堃中校,指職軍官89年班、工兵正規班153期、國立中興大學水土保持研究所碩士。曾任排長、保養官、副連長、教官,現任於陸軍工兵學校戰工組教官。

參考資料

- 1. TM5-855-1, "Technical Manual-Design and Analysis of Hardened Structures to Conventional Weapon Effects," U. S. Department of the Army, 1998.
- 2. TM5-855-1, "Technical Manual-Design and Analysis of Hardened Structures to Conventional Weapon Effects," U. S. Department of the Army, 1965.
- 3. LS-DYNA Version 971 Theory's Manual Rev5, Livermore Software Technology Corporation, 2010.
- 4. Bouamail, A. and Nguyen-Dang, T. V., "High Explosive Simulation using Arbitrary Lagrangian-Eulerian Formulation, "Defense R&D Canada, DRDC Valcartier TM 2008-254, October, 2008.
- 5. 國科會, 地下指揮所出入口抗炸技術」, 行政院國家科學委員會, 台北, 2010 年9 月。
- 6. 陸軍司令部,軍事工程教範, 陸軍司令部,桃園,2004年。